

## 7. Kapitulu

### IRK: Eguzki-sistema.

#### 7.1. Sarrera.

Kapitulu honetan, eguzki-sistemaren ekuazio diferentzialei Kepler-en fluxuan oinarritutako aldagai aldaketa aplikatzea proposatuko dugu. 5.. kapitulu puntufinkoaren iterazioan oinarrituz eta 6.. kapitulu Newton sinplifikatuaren iterazioan oinarrituz IRK inplementazioak garatu ditugu; eguzki-sistemaren problemaen integrazioarako, bi inplementazioen artean, puntu-finkoarena eraginkorragoa dela baieztatu dugu. Hortaz, puntu-finkoaren iterazioan oinarritutako IRK inplementazioa erabiliko dugu eta ekuazio diferentzialetako aldagaiei eragingo diegun aldagai aldaketaren bidez, integrazio eraginkorra lortzea espero dugu.

Aplikutzen dugun integrazio metodoa sinplektikoa eta simetrikoa da: neurri batean, Splitting metodoen baliokidea. Aldagai berriekiko ekuazio diferentzialak, magnitude txikiko balioak hartzen dituzte eta honek, hiru abantaila eragingo ditu. Lehenik, eguzki-sistemaren problemaen trunke errore nagusia ezabatzen dugunez, urrats luzera handiagoak erabili ahal izango ditugu. Bigarrenik, batura konpensatuaren konputazioan, informazio gutxiago galduko dugu. Jacobiarraren balio txikia denez, puntu-finkoaren iterazioek konbergentzia azkarra izango dute.

Lehenengo, Kepler-en fluxuaren inplementazioa azalduko dugu. Bigarrenik, aldagai aldaketa definitu eta metodoa integratzeko zehaztapenak emango ditugu. Hirugarrenik, eguzki-sistemaren problemaen zenbakizko integrazioak egingo ditugu: inplementazio honen eta doitasun altuko beste metodo sinplektikoen eraginkortasunak, alderatuko ditugu.

## 7.2. Kepler-en fluxua.

Kepler problema bi gorputzen problemaren kasu partikularra da eta honako Hamiltondarrak dagokio,

$$H(q, p) = \frac{p^2}{2m} - \frac{\mu}{\|q\|}, \quad (7.1)$$

non  $m$  eta  $\mu$  konstanteen balioak, formulazioaren arabera diren.

Koordenatu sistema  $q = q_2 - q_1$  duen formulazioa aukeratzeko badugu, konstanteen balioak hauek dira,

$$m = (1/m_1 + 1/m_2)^{-1}, \quad \mu = Gm_1m_2,$$

eta ekuazio diferentzialak era honetan definitzen dira,

$$\dot{q} = p, \quad \dot{p} = -\frac{k q}{\|q\|^3}, \quad (7.2)$$

non  $k = \mu/m$  eta  $q, p \in \mathbb{R}^3$ .

Kepler problemaren soluzio zehatza kalkula daiteke: une bateko kokapen eta abiadurak emanik,  $\Delta t$  denbora tarte bat igarotakoan (positiboa ala negatiboa), kokapen eta abiadura zehatzak konputatu daitezke. Eguzki-sistemaren integrazio metodoentzat, Kepler problema doitasun handian eta era eraginkorrean kalkulatzeko, funtsezkoa da. Kepler problemaren erreferentziazko inplementazioak, Danby [29] eta J.Wisdom-enak [111] ditugu.

Kepler-en fluxua, era honetan kalkulatzen da. Lehenik, koordenatu kartesiarretatik  $(q, p \in \mathbb{R}^3)$ , koordenatu eliptikoetara  $(a, e, i, \Omega, E)$  itzulpena egingo dugu. Koordenatu eliptikoetan,  $E$  (*eccentric anomaly*) aldagaia izan ezik, beste aldagaiak konstante mantentzen dira: beraz  $E_0$  balioa emanda,  $\Delta t$  denbora tarte aurrera egin eta  $E_1$  balio berria kalkulatu dugu. Azkenik, koordenatu eliptikoetatik koordenatu kartesiarretara itzulpena eginez, kokapen eta abiadura berriak eskuratuko ditugu.

$$\begin{array}{ccc} (q_0, v_0) \in \mathbb{R}^6 & \longrightarrow & (a, e, i, \Omega, E_0) \in \mathbb{R}^6 \\ & \downarrow \Delta t & \\ (q_1, v_1) \in \mathbb{R}^6 & \longleftarrow & (a, e, i, \Omega, E_1) \in \mathbb{R}^6 \end{array}$$

Gorputz baten orbita Kepleriarra hiru motakoa izan daiteke:  $H(q_0, p_0) < 0$  denean orbita eliptikoa da,  $H(q_0, p_0) > 0$  orbita hiperbolikoa eta  $H(q_0, p_0) = 0$  orbita parabolikoa. Kepler fluxuaren C inplementazioa, orbita eliptikoetarako

garatu dugu eta zehaztasunak, B.1. eranskinean eman ditugu. (7.2) problemari dagokion fluxua, era honetan defini daiteke,

$$\begin{aligned} \varphi_{\Delta t}^k : \mathbb{R}^6 &\longrightarrow \mathbb{R}^6, \\ u_0 &\rightsquigarrow u_1. \end{aligned}$$

non  $u = (q, v) \in \mathbb{R}^6$  den.

## 7.3. Implementazioa.

### Aldagai aldaketa.

Kontutan hartuko ditugun sistemak Hamiltondarrak dira,  $H : \mathbb{R} \times \mathbb{R}^{2d} \longrightarrow \mathbb{R}$ , eta Hamiltondarra bi zatitan bana dakieke:

$$H(q, p, t) = H_K(q, p) + H_I(q, p, t) \quad (7.3)$$

non  $H_K$  mugimendu Kepleriarrari dagokion Hamiltondarraren aldea den eta  $H_I$  perturbazioei dagokien Hamiltondarraren aldea den.

Problema horri dagozkion ekuazioei Keplerren fluxuan oinarritutako aldagai aldaketa bat egingo dugu, baina horretarako notazioa finkatuko dugu:  $u = (q, p) \in \mathbb{R}^{2d}$  erabiliko dugu jatorrizko aldagaientzako eta  $U = (Q, P) \in \mathbb{R}^{2d}$  aldagai berrientzako. Jatorrizko aldagaien arabera ebatzi beharreko hasierako baliodun problema honakoa da:

$$\frac{du}{dt} = k(u) + g(u, t), \quad u(t_0) = u_0$$

non  $k(u)$  alde kepleriarrari dagokion eta  $g(u, t)$  perturbazioari. Problema horretan honako aldagai aldaketa egingo dugu, kontuan izan urrats bakoitzean egingo dugula aldagai aldaketa, hau da  $j = 0, 1, 2 \dots$  indizeak  $j$ . urratsean aplikatu beharreko aldaketa adierazten du:

$$u(t) = \varphi_{t-(j+\frac{1}{2})h}^K \left( U^{j+\frac{1}{2}}(t) \right)$$

Fluxua  $\Delta t > 0$  eta  $\Delta t < 0$  balioentzat definitzen da, eta  $u = \varphi_{-t}(\varphi_t(u))$  betetzen dela kontutan hartuz honako alderantzizko aldaketa ere egin dezakegu:

$$U^{j+\frac{1}{2}}(t) = \varphi_{-t+(j+\frac{1}{2})h}^K (u(t))$$

Aldaketa hauekin asmoa da  $i + 1$  urratsa emateko  $u_i \approx y(t_0 + hi)$  zenbakizko soluzioan oinarrituz, aldagai aldaketaren bidez  $U_i^{i+\frac{1}{2}} = \varphi_{\frac{h}{2}}(u_i)$  lortu, hau

da, fluxuan  $\frac{h}{2}$  aurrera egin aldagai berriak lortzeko, aldagai berri hauetan ebatzi jatorrizko problemaren urrats bati dagokion zenbakizko soluzioa (ikusiko dugun bezala, aldagai berrietan alde kepleriarrari dagokion espresioak ez du eraginik eta, azken finean perturbazioari dagokion aldaketa da hemen kalkulatu dena) eta azkenik, aldagai berri hauen balio berriak jatorrizko aldagaia itzuli behar dira, baina fluxuan  $\frac{h}{2}$  egin behar da aurrera. Atzera egingo bagenu urratsaren hasierako balioei perturbazioak zein aldaketa eragiten dien kalkulatu baikenuke. Laburbilduz:

$$\begin{array}{ccc} U_0^{\frac{1}{2}} & \implies & U_1^{\frac{1}{2}} \\ \nearrow \varphi_{\frac{h}{2}}(u_0) & & \searrow \varphi_{\frac{h}{2}}(U_1) \\ u_0 & & u_1 \end{array}$$

Aldagai aldaketak fluxuan aurrera egiten du urratsaren luzeraren erdia. Hori horrela egiteak badu arrazoi bat: urratsa bere osotasunean simetrikoa da. Aurrera  $h$  luzerako urratsa ematea  $-h$  luzerako urratsa ematearekin desegiten baita.

Lehenengo urratsa hasterako,  $j = 0$  izanik,  $u_0$ tik abiatuta  $U_0^{\frac{1}{2}}$  lortuko dugu. Aldagai berri horretan gure problema ebartziko dugu eta  $U_1^{\frac{1}{2}}$  lortuko dugu. Aldagai hauetan  $U_0$  eta  $U_1$  balioen arteko aldea oso txikia da, orbitaren perturbazioak eragiten duen aldaketa besterik ez baita bien arteko aldea. Ondoren,  $u_1$  balioa lortuko dugu fluxuan  $\frac{h}{2}$  aurrera eginez.

## Integrazioa.

Aldagai berrien arabera Hamiltondarra honakoa da,

$$\mathcal{H}(Q, P, t) = H_I(\varphi_{t-t_0}^K(Q, P), t) := G(Q, P, t). \quad (7.4)$$

eta hauek dira ekuazio diferentzialak,

$$\begin{aligned} \frac{dQ_i}{dt} &= +\frac{\partial G}{\partial P_i}(Q, P, t), \\ \frac{dP_i}{dt} &= -\frac{\partial G}{\partial Q_i}(Q, P, t), \quad i = 1, \dots, d. \end{aligned} \quad (7.5)$$

Hurrengo ataletan, ekuazio diferentzialen konputazioaren zehaztapenak eman-go ditugu. Lehenik, gorputz bakarraren problema, hau da, alde Kepleriar bakarra duen kasu partikularra aztertuko dugu. Bigarrenik,  $N > 1$  gorputzen problemarekin, alde kepleriar bat baino gehiago duen kasu orokorra aztertuko dugu.

**Alde Kepleriar bakarra.**

Satelite baten orbitaren ekuazio diferentzialak, era honetan idatz daitezke,

$$\begin{aligned} \frac{d}{dt} \begin{pmatrix} q \\ v \end{pmatrix} &= k(t, q, v) + g(t, q, v), \\ k(t, q, v) &= \begin{pmatrix} v \\ -\frac{\mu}{\|q\|^3} q \end{pmatrix}, \end{aligned} \quad (7.6)$$

non  $q, v \in \mathbb{R}^3$  diren. Azpimarratu nahi dugu,  $g(t, q, v)$  perturbazioa ez duela zertan Hamiltondarra izan behar.

Fluxuan oinarritutako aldagai aldaketa aplikatzen badugu,

$$\begin{pmatrix} q \\ v \end{pmatrix} = \varphi_t(Q, V), \quad (7.7)$$

aldagai berriei dagozkien ekuazio diferentzialak era honetan definitzen dira (ikus B.4. eranskinean garapen osoa),

$$\frac{d}{dt} \begin{pmatrix} Q(t) \\ V(t) \end{pmatrix} = (\varphi'_t(Q, V))^{-1} g. \quad (7.8)$$

**Algoritmoa.**  $(Q, V)$  aldagaiei integrazioa, hiru urratsetan egingo dugu:

1.  $\{q, v, aux\} \leftarrow KeplerFlowGen(t, Q, V, mu)$ .

Kepler-en fluxua  $(q, v) = \varphi_t(Q, V)$  aplikatuko dugu eta fluxuaren kalkulatarako erabilitako tarteko balioak,  $aux \in \mathbb{R}^{16}$  aldagaian itzuliko ditugu.

2.  $g \leftarrow g(t, q, v)$ .

Perturbazioei dagokien ekuazio diferentziala aplikatuko dugu.

3.  $KeplerFlowGFcnaux(aux, Q, V, t, g)$ .

Lehenik,  $\varphi'_t(Q, V)$  modu eraginkorrean kalkulatu behar da. Deribazio automatikoaren teknikaren bidez, Kepler fluxuaren deribatuaren konputazio eraginkorra definitu dugu.

Ekuazio diferentzialen (7.8) espresioaren konputazioa egingo dugu,

$$KeplerFlowGFcnaux(aux, Q, V, t, g) = (\varphi'_t(Q, V))^{-1} g.$$

**Alde Kepleriar bat baino gehiago.**

Alde Kepleriar bat baino gehiago dugun problemaren azterketa egingo dugu. Problemaren alde Kepleriarren kopurua  $k$  bada, era honetako ekuazio diferentzialak ditugu,

$$\frac{d}{dt} \begin{pmatrix} q_1 \\ v_1 \\ q_2 \\ v_2 \\ \vdots \\ q_k \\ v_k \\ w \end{pmatrix} = \begin{pmatrix} v_1 \\ -\mu_1 q_1 / \|q_1\|^3 \\ v_2 \\ -\mu_2 q_2 / \|q_2\|^3 \\ \vdots \\ v_k \\ -\mu_k q_k / \|q_k\|^3 \\ 0 \end{pmatrix} + g(t, q_1, v_1, \dots, q_k, v_k, w),$$

non

$$g(t, q_1, v_1, \dots, q_k, v_k, w) = \begin{pmatrix} g_1(t, q_1, v_1, \dots, q_k, v_k, w) \\ g_2(t, q_1, v_1, \dots, q_k, v_k, w) \\ \vdots \\ g_k(t, q_1, v_1, \dots, q_k, v_k, w) \\ g_{k+1}(t, q_1, v_1, \dots, q_k, v_k, w) \end{pmatrix}.$$

Gorputz bakoitzari dagokion aldagai aldaketa lokala da,

$$\begin{pmatrix} q_j \\ v_j \end{pmatrix} = \varphi_t^{\mu_j}(Q_j, V_j), \quad j = 1, \dots, k, \quad (7.9)$$

$$w = W.$$

Aldagaia berriekiko ekuazio diferentzialak honakoak dira (ikus [B.4.](#) eranskinen garapena),

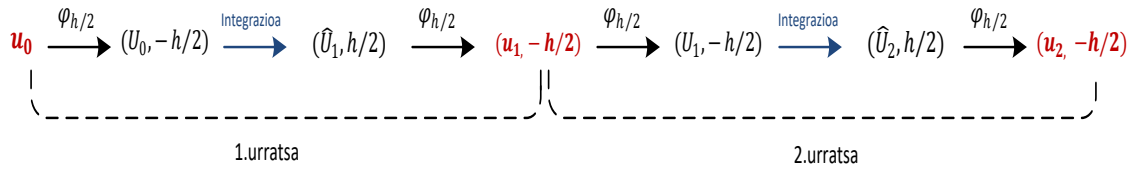
$$\frac{d}{dt} \begin{pmatrix} Q_1 \\ V_1 \\ \vdots \\ Q_k \\ V_k \\ W \end{pmatrix} = \begin{pmatrix} \varphi_t'^{\mu_1}(Q_1, V_1)^{-1} g_1 \\ \varphi_t'^{\mu_2}(Q_2, V_2)^{-1} g_2 \\ \vdots \\ \varphi_t'^{\mu_k}(Q_k, V_k)^{-1} g_k \\ g_{k+1} \end{pmatrix}.$$

**Metodo simetrikoa.**

Lehenik, azpimarratu behar dugu aldagai aldaketa lokala izan behar duela eta horretako, integrazioarako egoera aldagai berri bat ( $\tau$ ) gehitu behar dugula,

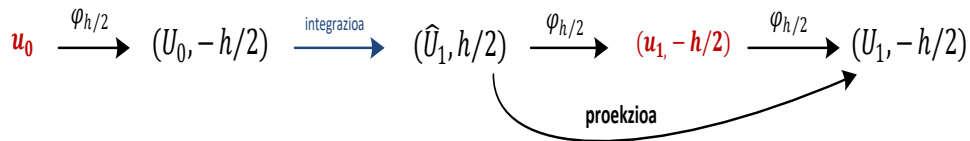
$$(U, \tau). \quad (7.10)$$

Metodoa simetriko izateko, integrazio eskema orokorra 7.1. irudian laburtu dugu,



### 7.1. Irudia

Integrazioaren urrats guztietan ez baditugu emaitzak itzuli behar, bi urratsen arteko,  $\varphi_{h/2}$  fluxuaren bi konputazioak,  $\varphi_h$  fluxuaren konputazio bakarrarekin konputatuko dugu. Horretarako, proiektzio kontzeptua sortuko dugu (7.2. irudia).



**7.2. Irudia:** Proiektzioa: bi urratsen arteko,  $\varphi_{h/2}$  fluxuaren bi konputazioak,  $\varphi_h$  fluxuaren konputazio bakarrarekin konputatuko dugu

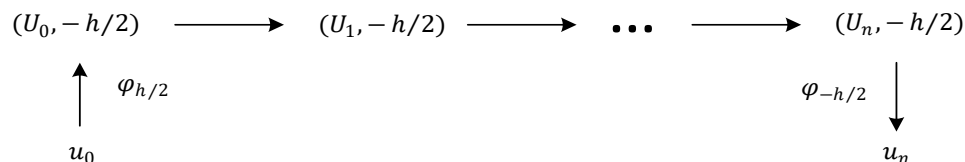
Azkenik, emaitzak behar ditugun urratsetarako fluxua  $\varphi_{-h/2}$  aplikatuko dugu (7.3. irudia).

$u_i$  jatorrizko aldagaiak eta  $U_i$  aldagai berriak adierazten duten notazioa erabiliko dugu. Hauek dira, integratzeko emango ditugun urratsak:

#### 1. Startfun funtzioa.

Lehenengo,  $u_0$  jatorrizko aldagaien hasierako balioetik abiatuta,  $\varphi_{h/2}$  fluxuaren konputazioaren bidez, aldagai berrietan dagokion hasierako balioa lortuko dugu.

$$u_0 \rightarrow (U_0, -h/2).$$



**7.3. Irudia:**  $u_i$  jatorrizko aldagaiak eta  $U_i$  aldagai berriak adierazten dute. Lehenengo,  $u_0$  jatorrizko aldagaien hasierako baliotik abiatuta, aldagai berriei dagokion hasierako balioa finkatuko dugu  $(U_0, -h/2)$ . Urrats bakoitza, integrazio eta proiektzioaren konposaketa da eta 7.2. irudian zehaztu dugu. Erabiltzaileak definitutako urratsetarako,  $u_n$  jatorrizko aldagaiekin zenbakizko soluzioa itzuliko dugu

## 2. Urratsa.

Urratsa integrazio eta proiektzioaren konposaketa da; 7.2. irudian zehaztapenak eman ditugu. Aldagai aldaketa urrats bakoitzean aplikatzen dugu.

$$(U_0, -h/2) \rightarrow (U_1, -h/2).$$

Biribiltze errorea txikitzeko, proiektzioa doitasun altuan konputatzea garrantzitsua da. Modu honetan, batura konpensatua aplikatzerakoan zifra batzuk irabaziko ditugu.

## 3. Outputfun funtzioa.

Erabiltzaileak definitutako urratsetarako,  $\varphi_{-h/2}$  fluxuaren konputazioaren bidez,  $u_n$  zenbakizko soluzioa jatorrizko aldagaiekin itzuliko dugu.

$$(U_n, -h/2) \rightarrow u_n.$$

Gauss metodoa, neurri batean Splitting eta konposizio metodoen baliokideak dira.

Konposizio metodoa  $\Leftrightarrow$  Gauss metodoa aldagai aldaketa gabe.

Splitting metodoa  $\Leftrightarrow$  Gauss metodoa aldagai aldaketarekin.

Splitting metodoekiko antzekotasuna azaltzeko, (2.21) *Störmer-Verlet* Splitting metodoarekin konparatuko dugu. *Störmer-Verlet* metodoa, era honetan aplikatzen da:  $h/2$  fluxua aplikatu, perturbazioak kalkulatu eta berriz  $h/2$  fluxua aplikatu. Fluxuaren aldagai aldaketarekin, gauza bera egiten ari gara:  $h/2$  fluxua aurreratu, perturbazioak kalkulatu (aldagai berrietan eta beraz, hobeto kalkulatzen dugu),  $h/2$  fluxua aurreratu.



## 7.4. Zenbakizko esperimentuak.

Atal honetan, puntu-finkoaren iterazioan oinarritutako Gauss metodoaren inplementazioa erabili dugu eta eguzki-sistemaren ekuazio diferentzialei, Kepler-en fluxuan oinarritutako aldagai aldaketa aplikatu diegu.  $s = 6, 8, 9, 16$  ataletako Gauss metodoak exekutatu ditugu eta metodo eraginkorrena aukeratu dugu, ordena altuko beste metodo sinplektikoekin konparatzeko.

### Problemak.

9-planeten problema (3.4. atala) erabili dugu integrazioetarako. Hasierako balioak *DE-430* efemerideen artikulutik hartu ditugu: planeten masak 3.4. taulan laburtu ditugu; hasierako kokapen eta abiadurak 3.5. taulan aurki daitezke. Integratzeko, koordenatu heliozentrikoei dagokien (B.3) Hamiltondarrean oinarrituko gara.

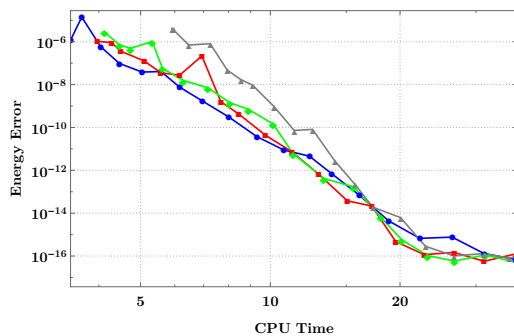
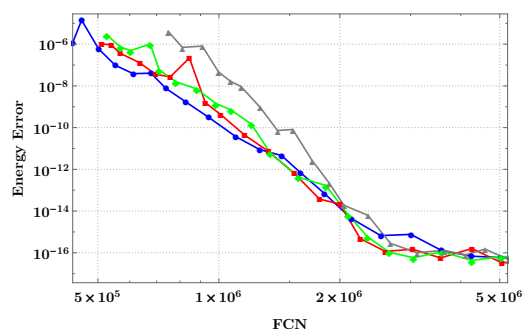
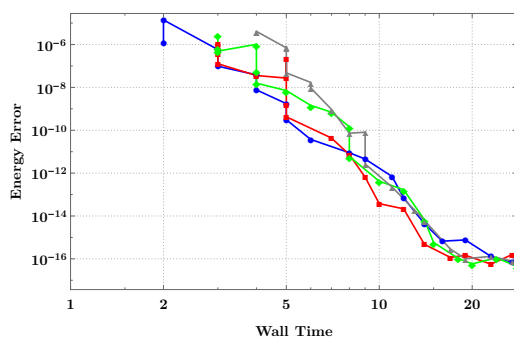
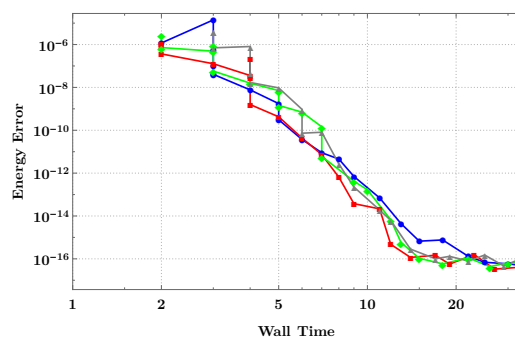
Integrazioaren tarte,  $t_{end} = 10^6$  egunetakoa izan da eta zenbakizko integrazioetan,  $h$ -ren balio ezberdinak erabili ditugu.  $s = 6$  metodoarentzat urrats luze-rak aukeratu ditugu eta gainontzeko metodoentzat,  $s$ -atalen arabera urrats luzera proportzionalak finkatu ditugu:

$$\begin{aligned} s = 6 : & \quad h = 2^{k/4}, \quad k = 4, \dots, 28, \\ s = 8 : & \quad (8/6)h, \\ s = 9 : & \quad (9/6)h, \\ s = 16 : & \quad (16/6)h. \end{aligned}$$

Zenbakizko esperimentuetarako, aldagai aldaketa planeta guziei aplikatzea erabaki dugu. 9-planeten problemaren, gorputz kopurua txikia denez, Kepler fluxuaren gainkarga esanguratsua da eta barne-planetei bakarrik aplikatzea, eraginkorragoa izan daiteke. Baina, gorputz gehiago kontsideratzen baditugu (esaterako ilargia eta asteroide nagusienak) edo eguzki-sistemaren eredu konplexuagoetan (esaterako erlatibitate efektua gehituzkoan), perturbazio aldearen konputazioa nagusituko da eta Kepler fluxuaren kalkuluak pisua galduko du.

### Lehen esperimentua.

7.4. irudian,  $s = 6, 8, 9, 16$  ataletako metodoen, bi eraginkortasun grafiko irudikatu ditugu. Eraginkortasuna, energia errore erlatibo maximoaren arabera neurtu dugu: lehen kasuan, *CPU*-denborarekiko eta bigarren kasuan, ekuazio diferentzialen ebaluazio kopuruarekiko (*FCN*). Eraginkortasuna *CPU*-rekiko, problema zehatz honetarako gertatzen dena azaltzen digu eta eraginkortasuna *FCN*-rekiko, metodoak problema erreal batean nola jokatu luke erakusten digu.

(a) Exekuzioa serian.  $\max(|\Delta E|)$ -CPU.(b) Exekuzioa serian.  $\max(|\Delta E|)$ -FCN.(c) Exekuzio paraleloa.  $\max(|\Delta E|)$ -CPU.(d) Exekuzio paraleloa.  $\max(|\Delta E|)$ -FCN.

**7.4. Irudia:** Eraginkortasun grafikoak eskala logaritmiko bikoitza erabiliz irudikatu ditugu. Batetik ardatz bertikalean, energiaren errore erlatibo maximoa eman dugu. Bestetik, ardatz horizontalean, ezkerreko grafikoan CPU denbora eta eskuineko grafikoan, ekuazio diferentzialen ebaluazio kopurua (FCN) erakutsi dugu. Irudi bakoitzean, Gauss metodoaren lau integrazio konparatu ditugu:  $s = 6$  urdinez,  $s = 8$  gorriz,  $s = 9$  berdez, eta  $s = 16$  grisez. (a) eta (b) konputazioak modu sekuentzialean egin ditugu; (c) eta (d) modu paraleloan, lehenak hari kopurua 2 eta bigarrenak hari kopurua 4

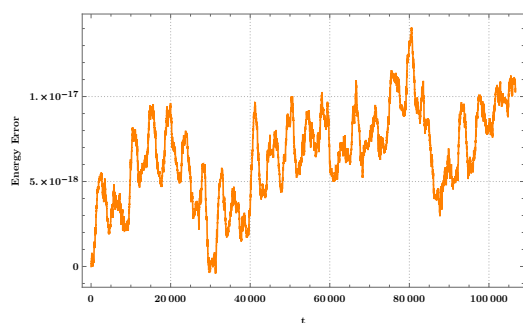
Gure helburua, bai exekuzio sekuentzialak bai exekuzio paraleloak aztertuz, doitasun altuko integrazioetarako Gauss metodo eraginkorra aukeratzea da. Horretarako, biribiltze errorea nagusitzen hasten den inguruko unean gertatutakoa aztertu dugu:  $s = 8, 9, 16$  metodoak,  $s = 6$  metodoa baino eraginkorragoak azaldu zaizkigu eta hirurak oso antzekoak dira.

### Bigarren esperimentua.

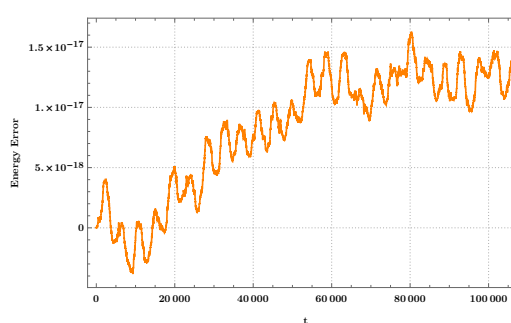
$s = 8$  metodoarentzat, biribiltze errorea hasten den uneko urrats luzera hartu dut:  $k = 12$ ,  $h = 10,667$ . Kokapen errore erlatiboaren estimazioa,  $h/2$  integrazioare-

kiko diferentzia gisa kalkulatu ditugu.

### Energiaren eboluzioa



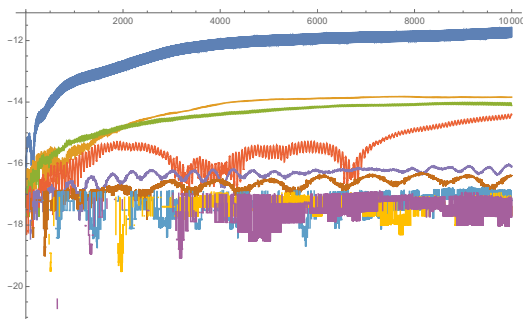
(a) Energia errorea:  $h = 10,667$ .



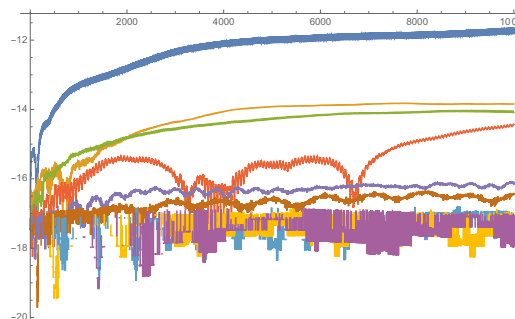
(b) Energia errorea:  $h = 10,667/2$ .

### 7.5. Irudia: Energia erroreakaren eboluzioa.

### Errore globalak



(a) Kokapen errorea.

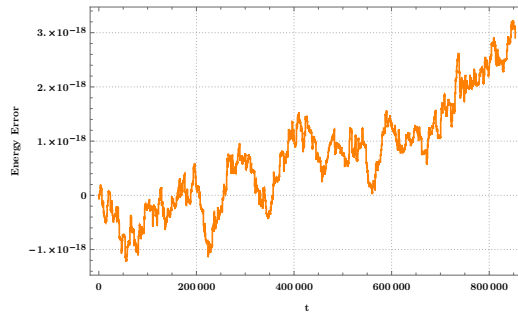
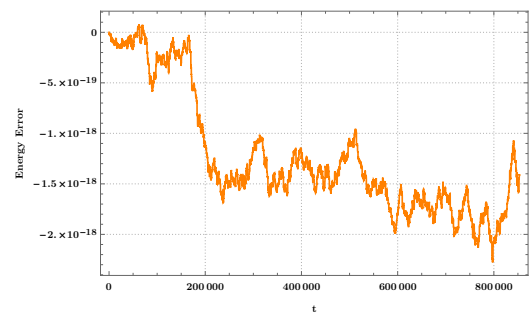


(b) Abiadura errorea.

### 7.6. Irudia:

### Hirugarren esperimentua.

Biribiltze erroreakaren azterketa (momentu angeluarra).  $s = 8$  metodoa eta urrats luzera handiak ( $h = 42.667$  eta  $h = 42.667/2$ ) erabiliz egindako integrazioak. Momentu angeluarraren trunkezte errorea beti zero da, metodo sinplektikoek in-bariante koadratikoak zehazki mantentzen dituzte.

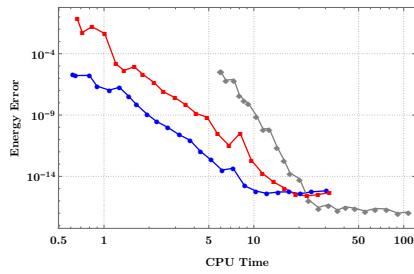
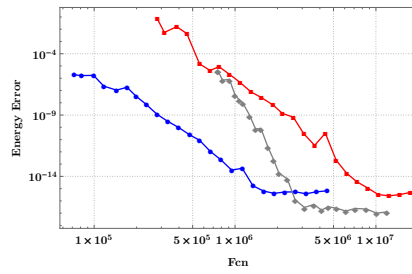
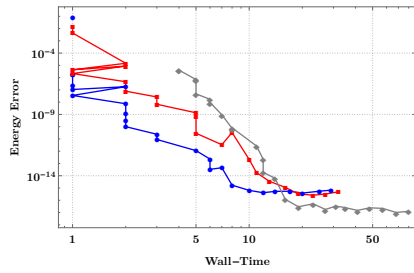
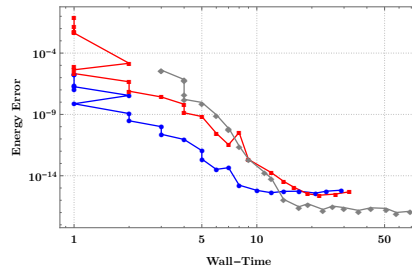
(a) Momentu angeluarra  $h = 42.667$ .(b) Momentu angeluarra  $h = 42.667/2$ 

### 7.7. Irudia:

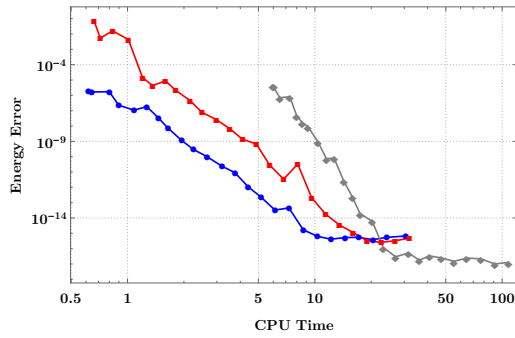
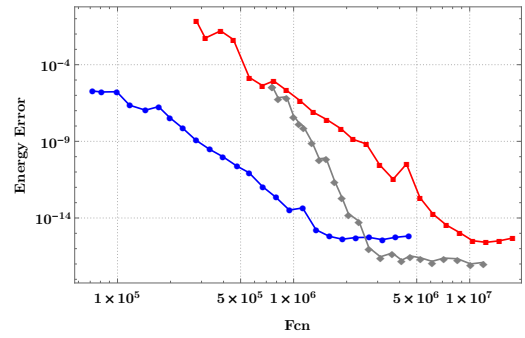
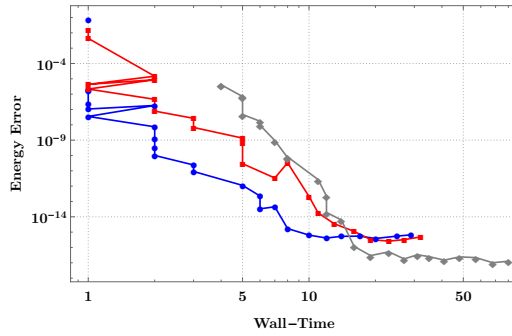
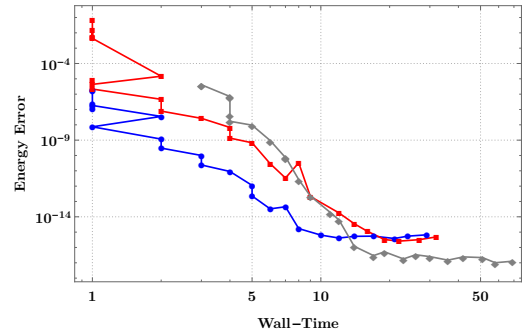
#### Laugarren esperimentua.

Beste metodo sinplektikoekiko konparaketa. Gauss metodoa modu paraleloan exekutatu dugu:  $s = 16$  eta  $s = 8$  metodoak, splitting/konposizio metodoekin konparatu ditugu.

### 7.5. Laburpena.

(a)  $s = 16$  Exekuzio sekuentziala: CPU-denbora.(b)  $s = 16$  Exekuzio sekuentziala: FCN.(c)  $s = 16$  Exekuzio paraleloa: hariak=2.(d)  $s = 16$  Exekuzio paraleloa: hariak=4.

**7.8. Irudia:** Eraginkortasun grafikoak irudikatu ditugu: ezkerrean energiaren errore maximoa, CPU denborarekiko; eskuinean ekuazio diferentzialen ebaluazio kopuruarekiko (FCN). Lau integrazio metodo konparatu ditugu: *ABAH*1064 urdinez, *CO*1035 gorriz, eta *IRKFLUXU* grisez

(a)  $s = 16$  Exekuzio sekuentziala: CPU-denbora.(b)  $s = 16$  Exekuzio sekuentziala: FCN.(c)  $s = 16$  Exekuzio paraleloa: hariak=2.(d)  $s = 16$  Exekuzio paraleloa: hariak=4.

**7.9. Irudia:** Eraginkortasun grafikoak irudikatu ditugu: ezkerrean energiaren errore maximoa, CPU denborarekiko; eskuinean ekuazio diferentzialen ebaluazio kopuruarekiko (FCN). Lau integrazio metodo konparatu ditugu: *ABAH1064* urdinez, *CO1035* gorriz, eta *IRKFLUXU* grisez